

# Física Quântica I / Mecânica Quântica

Vítor M. Pereira

Departamento de Física | Universidade do Minho

2021/22 — 2º Sem

## Lição 16

### Trem de ondas da partícula livre (EN: *wavepackets* )

Reciprocidade entre funções de onda da posição e do momento

Trens de onda (wavepackets)

Evolução de um trem de onda livre

Corrente de probabilidade e a sua conservação

- Representações (bases) de posição e momento

$$|\psi\rangle = \int dx \psi(x) |x\rangle = \int dp \psi(p) |p\rangle.$$

- Ação dos operadores de posição e de momento sob funções de onda:

$$\hat{X} : \quad \langle x|\hat{X}|\psi\rangle = x \psi(x), \quad \hat{P} : \quad \langle x|\hat{P}|\psi\rangle = \frac{\hbar}{i} \frac{\partial}{\partial x} \psi(x).$$

- Relação de comutação e produto das incertezas

$$[\hat{X}, \hat{P}] = i\hbar, \quad \delta X \delta P \geq \frac{\hbar}{2}.$$

- Funções próprias do operador  $\hat{P}$

$$\langle x|p\rangle \equiv \psi_p(x) = \frac{1}{\sqrt{2\pi\hbar}} e^{ipx/\hbar}.$$

- Equação de Schrödinger na base de posição:

$$i\hbar \frac{d}{dt} |\psi(t)\rangle = \hat{H} |\psi(t)\rangle \quad \longrightarrow \quad i\hbar \frac{\partial}{\partial t} \psi(x, t) = -\frac{\hbar^2}{2m} \frac{\partial^2 \psi(x, t)}{\partial x^2} + V(x) \psi(x, t).$$

- Dependência temporal das funções de onda (quando  $\hat{H}$  é constante no tempo)

$$\psi(x, t) = \sum_n \langle \varphi_n | \psi(0) \rangle e^{-iE_n t/\hbar} \varphi_n(x), \quad \left[ -\frac{\hbar^2}{2m} \frac{\partial^2}{\partial x^2} + V(x) \right] \varphi_n(x) = E_n \varphi_n(x).$$

Recordemos a relação entre as incertezas que derivámos na L14:

$$[\hat{X}, \hat{P}] = i\hbar \Rightarrow \delta X \delta P \geq \frac{\hbar}{2} \Rightarrow \delta X \propto \frac{1}{\delta P}.$$

Isto pode ver-se como decorrente da relação entre as duas densidades de probabilidade:

$$|\psi\rangle = \int dx \psi(x)|x\rangle = \int dp \psi(p)|p\rangle$$

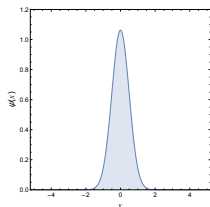
↓

prob. posição:  $\mathcal{P}(x) = |\psi(x)|^2$ ,      prob. momento:  $\mathcal{P}(p) = |\psi(p)|^2$

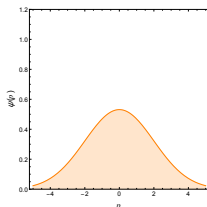
↓

$$\psi(x) = \frac{1}{\sqrt{2\pi\hbar}} \int_{-\infty}^{+\infty} \psi(p) e^{ipx/\hbar} dp$$

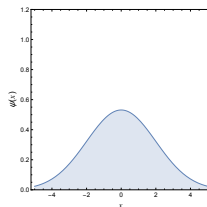
Posição  $\psi(x)$



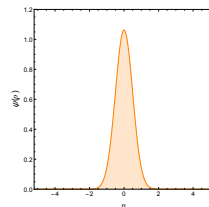
Momento  $\psi(p)$



Posição  $\psi(x)$

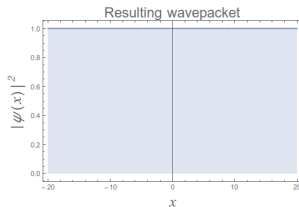
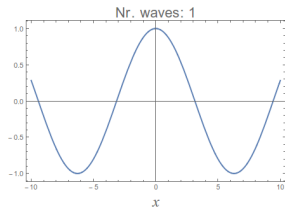


Momento  $\psi(p)$

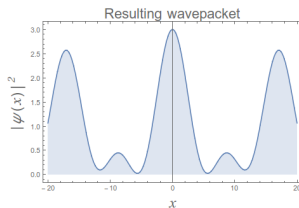
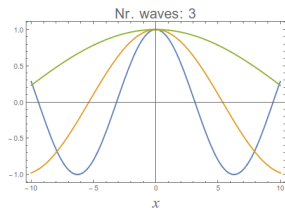


# Trem de ondas (exemplo pr vio com uma sobreposi  o discreta)

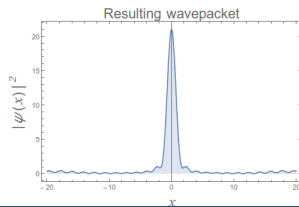
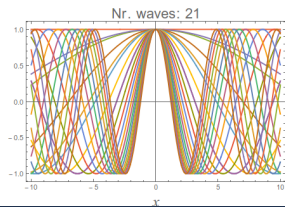
Como se constroi/consegue uma FdO localizada no espa o?



$$\psi(x) = 1$$



$$\psi(x) = e^{ik_1 x} + e^{ik_2 x} + e^{ik_3 x}$$



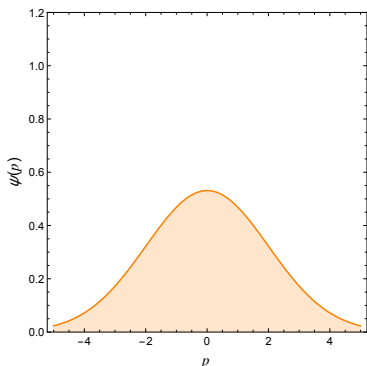
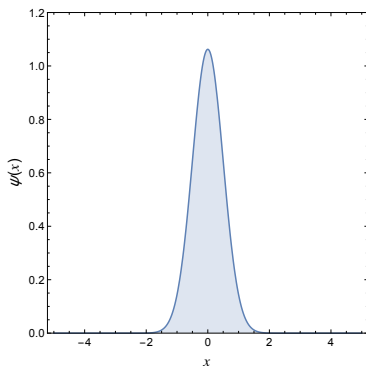
$$\psi(x) = \sum_n c_n e^{ik_n x}$$

# Trem de ondas – sobreposição contínua de ondas planas

Uma **sobreposição linear contínua** de ondas planas  $\propto e^{ip/\hbar}$ ,

$$\psi(x) = \frac{1}{\sqrt{2\pi\hbar}} \int \psi(p) e^{ipx/\hbar} dp,$$

em que a distribuição de momentos ( $\psi(p)$ ) é normalizável resulta numa FdO para a posição que é localizada no espaço — é um **trem de ondas**. (EN: wavepacket)



As larguras das distribuições de probabilidade  $|\psi(x)|^2$  e  $|\psi(p)|^2$  estão relacionadas através de:

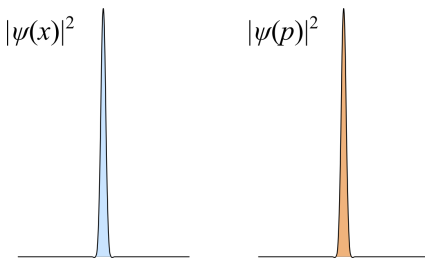
$$\delta P \delta X \sim \hbar$$

# Porque não observamos efeitos quânticos à escala macroscópica?

$$\delta X \delta P \sim \hbar, \quad \hbar \approx 10^{-34} \quad (\text{SI})$$

Quais são as ordens de magnitude típicas (massas, velocidades, deslocamentos, tempos) de fenómenos macroscópicos?

- Não se trata de dois mundos diferentes...
- Na prática, os trens de onda são **extremamente localizados** (finos) à escala macroscópica!
- ...não obstante satisfazerem sempre a relação de incerteza de Heisenberg.



Em termos **práticos** numa situação macroscópica, as posições e momentos podem ser especificados com uma precisão muito elevada (mas nunca infinita).

## O problema

Como evolui no tempo um trem de ondas que começa como  $\psi(x, t_0)$  em  $t = t_0$ ?

Já sabemos bem que, em termos do operador de evolução,

$$|\psi(t)\rangle = \hat{U}(t, 0)|\psi(0)\rangle \quad \longmapsto \quad \psi(x, t) = \langle x|\hat{U}(t, 0)|\psi(0)\rangle.$$

Introduzindo duas resoluções da identidade na forma  $\mathbf{1} = \int |p\rangle\langle p| dp$ , temos

$$\psi(x, t) = \int dp \int dp' \langle x|p\rangle \langle p|\hat{U}(t, 0)|p'\rangle \langle p'|\psi(0)\rangle.$$

Agora, para uma partícula livre (potencial nulo)  $\hat{H} = \frac{1}{2m}\hat{P}^2$ , logo

$$\hat{U}(t, 0) = e^{-i\hat{H}t/\hbar} = e^{-i\hat{P}^2 t/2m\hbar} \quad \longrightarrow \quad \langle p|\hat{U}(t, 0)|p'\rangle = e^{-ip^2 t/2m\hbar} \langle p|p'\rangle = e^{-ip^2 t/2m\hbar} \delta(p - p').$$

Portanto, substituindo acima, a FdO no instante  $t$  fica

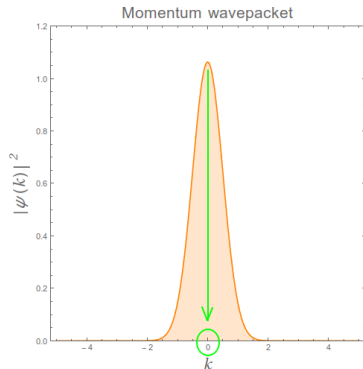
$$\psi(x, t) = \frac{1}{\sqrt{2\pi\hbar}} \int dp e^{ipx/\hbar} e^{-ip^2 t/2m\hbar} \langle p|\psi(0)\rangle = \frac{1}{\sqrt{2\pi\hbar}} \int dp e^{ipx/\hbar} e^{-iE_p t/\hbar} \psi(p, 0), \quad E_p \equiv \frac{p^2}{2m}.$$

Podemos notar que esta expressão é análoga à que derivamos para uma base discreta:

$$|\psi(t)\rangle = \sum_n \langle \varepsilon_n|\psi(0)\rangle e^{-iE_n t/\hbar} |\varepsilon_n\rangle, \quad \text{onde } |\varepsilon_n\rangle \text{ são os autoestados de energia: } \hat{H}|\varepsilon_n\rangle = E_n|\varepsilon_n\rangle.$$



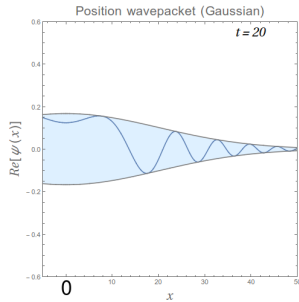
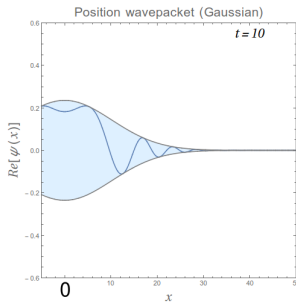
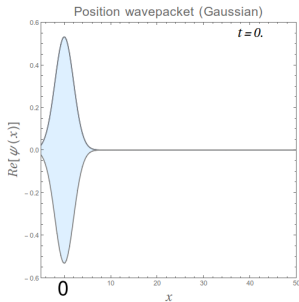
# Trem de ondas livre 1 – momento médio nulo



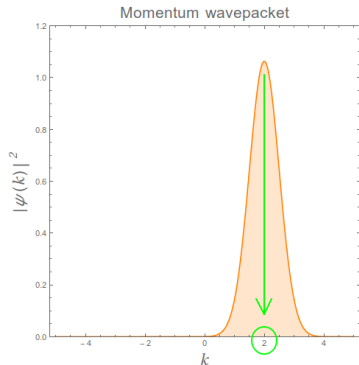
$$\psi(x, t) = \frac{1}{\sqrt{2\pi\hbar}} \int dp e^{ipx/\hbar} e^{-iE_p t/\hbar} \psi(p, 0)$$

←  $|\psi(p)|^2$  em  $t = 0$ , sendo que  $\langle \hat{P} \rangle_\psi = 0$ .

parte real de  $\psi(x, t)$  a diferentes  $t$ .



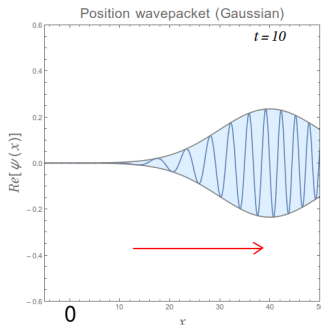
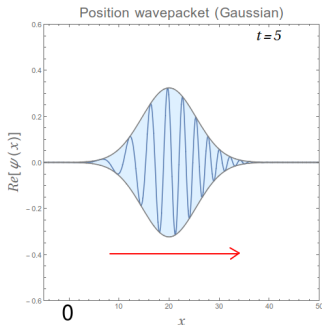
# Trem de ondas livre 2 – momento médio não-nulo



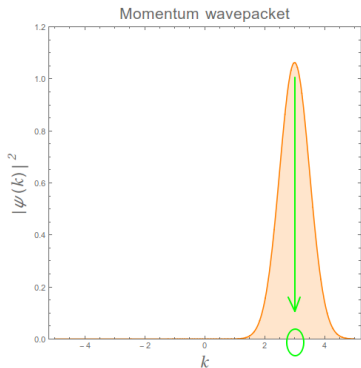
$$\psi(x, t) = \frac{1}{\sqrt{2\pi\hbar}} \int dp e^{ipx/\hbar} e^{-iE_p t/\hbar} \psi(p, 0)$$

←  $|\psi(p)|^2$  em  $t = 0$ , sendo que  $\langle \hat{P} \rangle_\psi \neq 0$ .

parte real de  $\psi(x, t)$  a diferentes  $t$ .



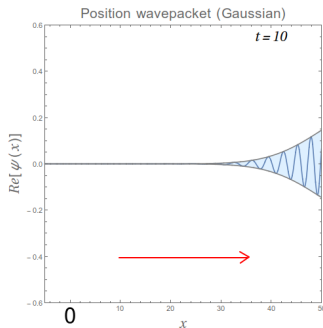
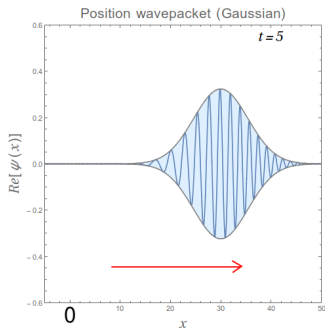
# Trem de ondas livre 3 – momento médio maior do que o anterior



$$\psi(x, t) = \frac{1}{\sqrt{2\pi\hbar}} \int dp e^{ipx/\hbar} e^{-iE_p t/\hbar} \psi(p, 0)$$

←  $|\psi(p)|^2$  em  $t = 0$ , com  $\langle \hat{P} \rangle_\psi \neq 0$ .

parte real de  $\psi(x, t)$  a diferentes  $t$ .



# Descrição aproximada do movimento do trem de ondas

O ponto de partida é a FdO exata que descreve o trem de ondas:

$$\psi(x, t) = \frac{1}{\sqrt{2\pi\hbar}} \int dp e^{i(px - E_p t)/\hbar} \psi(p, 0), \quad E_p \equiv \frac{p^2}{2m}.$$

Consideremos o caso  $\psi(p) \in \mathbb{R}$ , e que o máximo de  $\psi(p)$  ocorre em  $p = p_0$ :

$$px - E_p t \xrightarrow[\text{em torno de } p_0]{\text{expansão de Taylor}} p_0 x - E_{p_0} t + \left( x - \frac{\partial E_p}{\partial p} t \right)_{p=p_0} (p - p_0) + \dots$$

Substituindo acima, ficamos com

$$\psi(x, t) \simeq \frac{e^{i(p_0 x - E_{p_0} t)/\hbar}}{\sqrt{2\pi\hbar}} \int dp \exp \left[ i \left( x - \frac{\partial E_p}{\partial p} t \right) (p - p_0) / \hbar \right] \psi(p, 0).$$

Daqui, podemos ver que  $|\psi(x, t)|^2$  terá o seu máximo na posição  $x_M$  dada por

$$x_M \equiv \frac{\partial E_p}{\partial p} t \Rightarrow \text{o trem de ondas move-se com uma velocidade de grupo } v_g \equiv \frac{\partial E_p}{\partial p} \Big|_{p=p_0}.$$

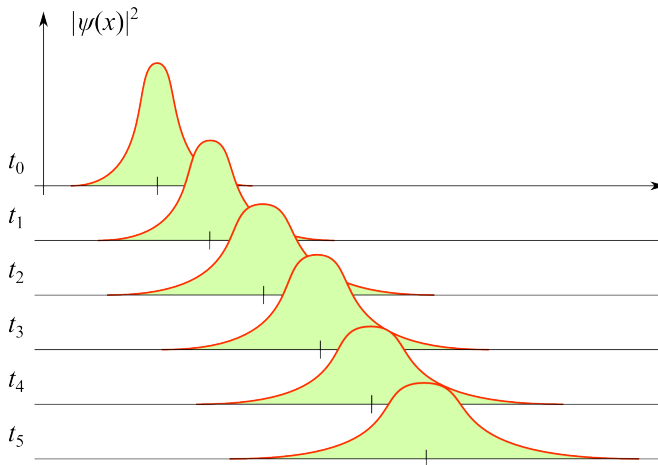
Ou seja, podemos escrever aproximadamente:

$$\psi(x, t) \simeq \frac{e^{i(x p_0 - E_{p_0} t)/\hbar}}{\sqrt{2\pi\hbar}} \int dp e^{i(x - v_g t)(p - p_0)/\hbar} \psi(p, 0), \quad v_g \equiv \frac{\partial E_p}{\partial p} \Big|_{p=p_0} = \frac{p_0}{m}.$$

## Descrição aproximada do movimento do trem de ondas

$$\psi(x, t) \simeq \frac{e^{i(xp_0 - E_{p_0}t)/\hbar}}{\sqrt{2\pi\hbar}} \int dp e^{i(x - v_g t)(p - p_0)/\hbar} \psi(p, 0), \quad v_g \equiv \frac{p_0}{m}.$$

Esta evolução temporal tem o aspeto gráfico seguinte, em sucessivos instantes  $t$ :



Nota: além de se **deslocar** no espaço, a largura (dispersão) do trem vai **aumentando** com o tempo.

# Distinção entre velocidade de grupo e velocidade de fase

Uma distinção subtil mas importante entre duas velocidades presentes num trem de ondas

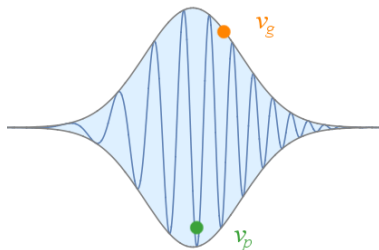
$$\psi(x, t) \simeq \frac{e^{ip_0(x - \frac{E_{p_0}}{p_0}t)/\hbar}}{\sqrt{2\pi\hbar}} \int dp e^{i(x - v_g t)(p - p_0)/\hbar} \psi(p, 0).$$

A **velocidade de grupo** caracteriza a propagação do “**envelope**” **envolvente** da FdO:

$$v_g \equiv \left. \frac{\partial E_p}{\partial p} \right|_{p=p_0} = \frac{p_0}{m}.$$

A **velocidade de fase** caracteriza a propagação de **cada onda** que integra o trem:

$$v_p \equiv \frac{E_{p_0}}{p_0} = \frac{p_0}{2m}, \quad \text{notar que } v_g \neq v_p \text{ em geral}$$



## Teorema de Ehrenfest para 1 partícula (ver L15)

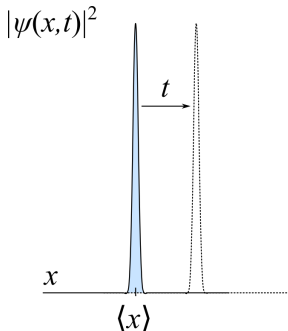
$$\frac{\partial}{\partial t} \langle \hat{X} \rangle_\psi = \frac{1}{m} \langle \hat{P} \rangle_\psi$$

$$\frac{\partial}{\partial t} \langle \hat{P} \rangle_\psi = -\langle V'(\hat{X}) \rangle_\psi$$

análogo das eqs.  
mov. clássicas  $\rightarrow$

$$\frac{dx}{dt} = \frac{p}{m}$$

$$\frac{dp}{dt} = -V'(x) = F(x)$$



$$\frac{\partial}{\partial t} \langle \hat{X} \rangle_\psi = v_g = \frac{p_0}{m} = \frac{1}{m} \langle \hat{P} \rangle_\psi.$$

- O centro de trem de ondas  $\psi(x)$  move-se com velocidade constante igual a  $v_g$ .
- A vel. clássica (Newtoniana) é apenas a **velocidade de grupo do trem de ondas quântico**.

# A corrente (ou fluxo) de probabilidade

Vimos antes (L7) que a normalização do vetor de estado é preservada no tempo:

$$\frac{d}{dt} \langle \psi(t) | \psi(t) \rangle = 0. \quad (\text{conservação global da probabilidade})$$

A equação de Schrödinger para a FdO  $\psi(x, t)$ ,

$$i\hbar \frac{\partial}{\partial t} \psi(x, t) = \mathcal{H} \psi(x, t) \Leftrightarrow i\hbar \frac{\partial}{\partial t} \psi(x, t) = \left[ -\frac{\hbar^2}{2m} \frac{\partial^2}{\partial x^2} + \mathcal{V}(x) \right] \psi(x, t),$$

garante também a existência de uma **lei de conservação local** da densidade de probabilidade

$$\rho(x, t) \equiv |\psi(x, t)|^2 = \psi^*(x, t) \psi(x, t). \quad (\text{densidade de probabilidade para a posição})$$

Derivê-mo-la:

$$\begin{aligned} \frac{\partial \rho(x, t)}{\partial t} &= \frac{\partial}{\partial t} [\psi^*(x, t) \psi(x, t)] = \psi^*(x, t) \frac{\partial \psi(x, t)}{\partial t} + \psi(x, t) \frac{\partial \psi^*(x, t)}{\partial t} \\ &= \psi^*(x, t) \left[ \frac{-i}{\hbar} \mathcal{H} \psi(x, t) \right] + \psi(x, t) \left[ \frac{+i}{\hbar} \mathcal{H} \psi^*(x, t) \right] \\ &= -\frac{\partial}{\partial x} \left[ \frac{\hbar}{2im} \left( \psi^*(x, t) \frac{\partial \psi(x, t)}{\partial x} - \psi(x, t) \frac{\partial \psi^*(x, t)}{\partial x} \right) \right] \\ &= -\frac{\partial}{\partial x} \mathcal{J}(x, t) \quad [\mathcal{J}(x, t) : \text{corrente de probabilidade}] \end{aligned}$$

A eq. Schrödinger implica conservação local da densidade de probabilidade

$$\frac{\partial \rho(x, t)}{\partial t} + \frac{\partial \mathcal{J}(x, t)}{\partial x} = 0 \quad \xrightarrow[\text{no caso 3D}]{\text{generaliza-se}} \quad \frac{\partial \rho(\mathbf{r}, t)}{\partial t} + \nabla \cdot \mathcal{J}(\mathbf{r}, t) = 0$$

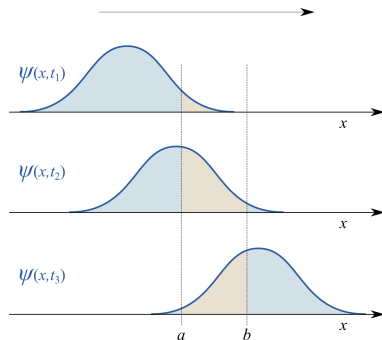


# Interpretação da corrente de probabilidade (caso 1D)

**densidade:**  $\rho(x, t) \equiv |\psi(x, t)|^2$ ,      **corrente:**  $\mathcal{J}(x, t) \equiv \frac{\hbar}{2im} \left[ \psi^*(x, t) \frac{\partial}{\partial x} \psi(x, t) - \psi(x, t) \frac{\partial}{\partial x} \psi^*(x, t) \right]$ .

Conservação local da densidade de probabilidade

$$\frac{\partial \rho(x, t)}{\partial t} + \frac{\partial \mathcal{J}(x, t)}{\partial x} = 0$$



Em qualquer região do espaço, p. ex.  $a \leq x \leq b$ , temos

$$\int_a^b \frac{\partial \rho(x, t)}{\partial t} dx + \int_a^b \frac{\partial \mathcal{J}(x, t)}{\partial x} dx \Leftrightarrow \frac{\partial}{\partial t} \mathcal{P}(a \leq x \leq b) = \mathcal{J}(a, t) - \mathcal{J}(b, t).$$

A última equação significa: a taxa de variação da probabilidade (de encontrar a partícula numa dada região do espaço) é igual ao balanço do fluxo de probabilidade que entra nessa mesma região (corrente que entra menos corrente que sai).

- A dependência temporal exata de uma FdO é dada por

$$\psi(x, t) = \sum_n \langle \varepsilon_n | \psi(0) \rangle e^{-iE_n t/\hbar} \varphi_n(x), \quad \text{em que} \quad \hat{H}|\varepsilon_n\rangle = E_n |\varepsilon_n\rangle.$$

- No **caso particular** de uma partícula livre,  $\hat{H} = \frac{\hat{p}^2}{2m}$ , cujas funções próprias são

$$\hat{H} \varphi_p(x) = E_p \varphi_p(x) \quad \Leftrightarrow \quad \left[ -\frac{i\hbar}{2m} \frac{d}{dx} \right]^2 \varphi_p(x) = E_p \varphi_p(x) \quad \longrightarrow \quad \varphi_p(x) = \frac{e^{ipx/\hbar}}{\sqrt{2\pi\hbar}}, \quad E_p = \frac{p^2}{2m}.$$

- Para a partícula livre, a FdO varia então no tempo segundo

$$\psi(x, t) = \frac{1}{\sqrt{2\pi\hbar}} \int dp e^{ipx/\hbar} e^{-iE_p t/\hbar} \psi(p, 0), \quad E_p \equiv \frac{p^2}{2m}.$$

- Um trem de ondas geral  $\psi(x)$  consiste numa sobreposição contínua de ondas do tipo

$$\psi(x) = \frac{1}{\sqrt{2\pi\hbar}} \int_{-\infty}^{+\infty} \psi(p) e^{ipx/\hbar} dp \quad \text{em que} \quad \delta X \delta P \sim \hbar.$$

- O trem de ondas de uma partícula livre com  $\langle \hat{P} \rangle = p_0$  evolui **aproximadamente** segundo

$$\psi(x, t) \simeq \frac{e^{i(p_0 x - E_{p_0} t)/\hbar}}{\sqrt{2\pi\hbar}} \int dp e^{i(x - v_g t)(p - p_0)/\hbar} \psi(p, 0), \quad v_g \equiv \left. \frac{\partial E_p}{\partial p} \right|_{p=p_0} = \frac{p_0}{m}.$$